

1. 序 矩形 Cavity 周辺の流れは、水理学分野では主流域に対する死水域のモデル、水理構造物に与える振動という点から、航空学分野では騒音源、抵抗力への影響という点から、また楽器音響学では純音発生と空洞共鳴という点から古くより関心がもたれ、現在もなお研究が進められている。また最近の乱流研究において注目をあつめているコヒーレントな渦構造を形成する流れの場としても興味ある対象である。本報はこの種の流れにみられる特徴的な実験事実を提示し、それに対する理論的説明をえることを目的としたものである。

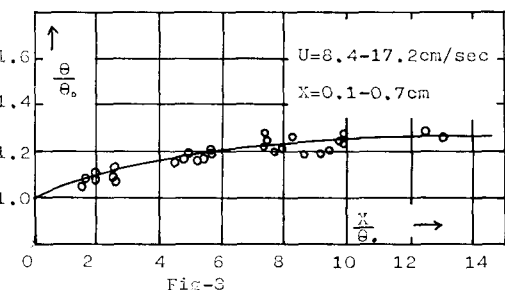
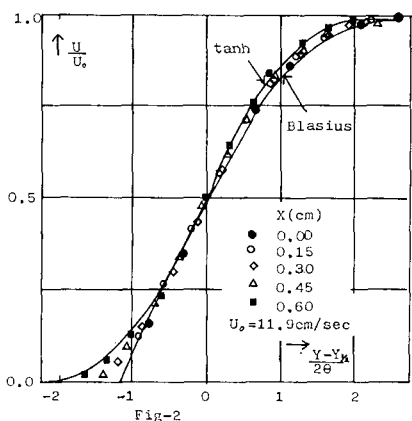
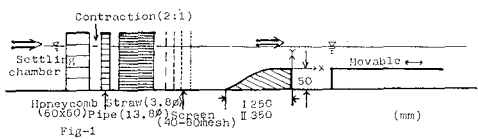
2. 実験装置 水路は透明塗ビ板で全長 4m、幅 25cm、深さ 25cm であり、その内部に整流部、測定部を設けている。整流はハニーカム、パイロ、ストロー、スクリーンにて行い、はくり点直前つまり縮流部上部の Free stream 中の乱れ強度は $u'/u_0 \approx 0.5\%$ といどである。この部分の乱れには顕著な周波数成分はみられなかった。縮流部の形状は、はくり点での境界層厚みを変えるため 2 種類のもの (Type I, II) を用いた。測定用凹部の深さは 5cm で、幅 12cm、流下方向の長さは可変になっている。流速測定にはホットフィルム流速計と小型プロペラ流速計を使用した。プローブの位置の同定は精度 1/100 の読み取り顕微鏡によった。装置の概要を Fig-1 に示す。

3. 実験結果 1) 流速分布 はくり点上流 0.1cm 付近での流速分布は、今回のすべての実験条件に対してほぼブラジウス型であり、その形状係数は 2.5~2.6 であった。Fig-2 は、はくり点から流下方向の各断面における流速分布の変化の一例を示したものである。この部分で流速分布は層流境界層型から自由せん断層型に移行している。Fig-3 は運動量厚さ θ

$$\theta = \int_{\infty}^{\infty} \frac{u}{u_0} \left(1 - \frac{u}{u_0}\right) dy$$

の流下方向の変化を示したものである。Fig-2 の流速分布の変化に対応して θ はゆるやかに増加している。

2) 流速変動 Fig-4 は、 $U_0 = 12.6 \text{ cm/sec}$ 、cavity 長さ $L = 6 \sim 20 \text{ cm}$ とした場合の $x = 4.0 \text{ cm}$ 、 $U/u_0 = 0.9$ の位置における流速変動 u' の周波数スペクトルである。これは 0.04 秒間隔のデータ 512 個を用いて FFT により計算したものである。その基本周波数の変化を cavity 長さ L 、 U_0 に対してプロットしたのが Fig-5, 6 である。周波数は L の増加に伴って次第に減少するが、ある位置まではぐるとジャンプし、そして再び減少する。それぞれをステージ I, II, III, ... とよぶことにすれば、今回はステージ III まで観測された。ここで ω とし、 U_0 の間には jet-edge tone のようなヒステリシスの関係はみられない。さらに L を増加すると sub-harmonic があらわれる。これは渦の coalescence によるものである。またしが大きくなるにつれて凹部下流端付近の速度変動には高調成分があらわれ、流れの遷移が生じていることがわかる。



3) 界面の不安定波の諸性質 Fig-7a,bは界面に形成された不安定波の位相速度 U_c 、波数 k と角周波数 $\beta = 2\pi f(28_m)/U_c$ の関係である。 θ_m は $x_m = 10.0$ なる位置での運動量厚さである。この不安定波が roll-up して渦を形成する。波長は流下方向に 1 ~ 2 cm はなれた位置に流速計プローブをおき、それぞれの波形の位相のズレから求めた。位相は流れの横断方向にも変化するので、その方向にトラバースした結果をもとにして、次式で計算した。 $\lambda = 2\pi(x_1 - x_2)/(k_1 - k_2)$ $k_{1,2}$; 断面 1,2 での位相。

Fig-7c は、 L と波長入の比を角周波数に對してプロットしたものである。値に若干のバラツキがあるがステージ I, II に対しては、

$$L/\lambda = n + \frac{1}{2} \quad n = 1, 2$$

の関係がみられる。

4. 実験値の理論的説明 非粘性線形安定性理論によれば、流速分布 $U(y)$ が与えられれば、自由せん断層中の不安定波の諸性質は次の Rayleigh 方程式

$$(U - \beta/\omega)[\phi'' - \alpha^2 \phi] - U'' \phi = 0 \quad \phi(\omega) = \phi(\alpha) = 0$$

の固有値、固有関数として与えられる。ここに、 $\psi(2, y, t) = R[\phi(y) e^{i(\alpha x - \beta t)}]$ で ψ は流れ関数、 $\alpha = d_x + i d_y$ は複素波数、 β は角周波数である。流速分布が、

$$U(y)/U_0 = 0.5 (1 + \tanh \frac{y}{20_m})$$

の場合の計算値を実験値と比較したのが Fig-7a,b である。Cavity 91.7° の場合にも比較的よく合っていることがわかる。自由せん断層の場合には、特に外乱(ラグスピガ)のない場合、じょう乱の空間的成長率 $-d_z$ が最大となるような $\beta \approx 0.207$ が出現する。しかし、Cavity 91.7° の場合には、下流壁の存在による feedback が作用するために必ずしもそうはない。したがってこのことを表現するにあたる条件が必要となる。この条件として、 $L/\lambda = n + \frac{1}{2}$ ($n = 1, 2, 3$) を用いて求めた、ストローハル数 f_L/U_0 と $L/20_m$ の関係が Fig-8 の実線である。この図が示すように、Fig-5, 6 に示される子と L 、 U_0 のバラツキな関係は、 f_L/U_0 、 $L/20_m$ という無次元パラメータで統一的に表現できることがわかる。

5. 結論と今後の課題 Cavity 91.7° の流れの界面に形成される渦の周波数の決定に線形安定性理論が適用できる見通しがつき、Cavity 長さと波長の関係を達成させることにより周波数を求めうることがわかった。さらに、現在、周波数の jump の条件、feedback 機構の明確化、乱流はくりの場合との比較、交換速度との関係について実験を進めている。

Freyhardt (1966 J.F.M. Vol.25)
Sarohia (1977 A.I.A.J. 13)
Michalke (1965 J.F.M. Vol.23)

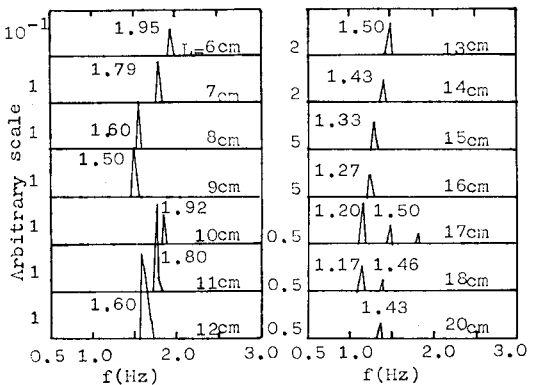


Fig-4

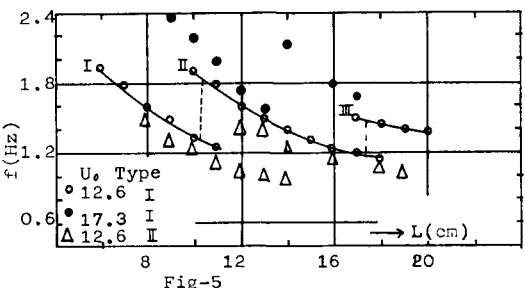


Fig-5

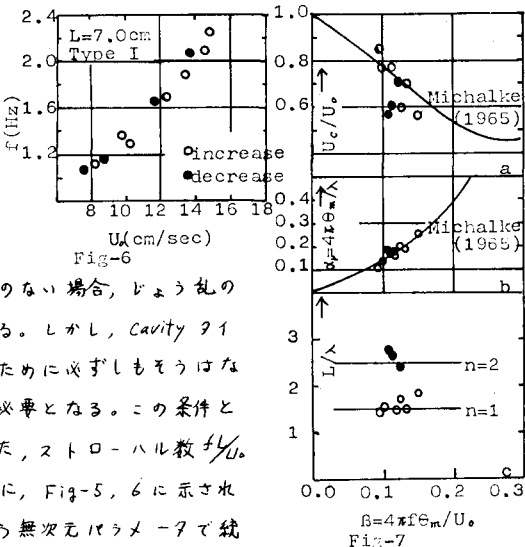


Fig-6

$$\beta = 4\pi f \theta_m / U_0$$

Fig-7

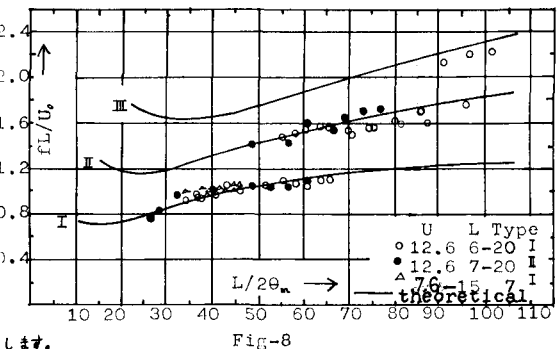


Fig-8

本研究の遂行に助力を賜、た末石富太郎教授に謝意を表します。